

Puromycin aminonucleoside의 사구체 족세포 P-cadherin에 대한 영향

충북대학교 의과대학 소아과학교실

하 태 선

Tae-Sun Ha, M.D.

Department of Pediatrics, College of Medicine,
Chungbuk National University, Cheongju, Korea

Corresponding Author: Mee Young Sol
Department of Pediatrics, College of Medicine,
Chungbuk National University, Cheongju, Korea
Tel: 043-269-6374, Fax: 043-264-6620
E-mail: tsha@chungbuk.ac.kr

*이 논문은 2007년도 정부재원(교육인적자원부 학술연구조성사업비)으로 한국학술진흥재단의 지원(지역대학우수과 학자 지원사업, 313-2007-2-E00269)과 2013년도 정부(교육과학기술부)의 재원으로 한국연구재단의 지원을 받아 수행된 기초연구사업임(2013R1A1A4A03006207).

Received: 13 September 2013

Revised: 6 October 2013

Accepted: 7 October 2013

Effect of Puromycin Aminonucleoside on Podocyte P-Cadherin

Purpose: To test whether the expression of P-cadherin, a component of slit diaphragms between podocyte foot processes, would be altered by puromycin aminonucleoside (PAN) in a cultured podocyte *in vitro*.

Methods: Rat glomerular epithelial cells (GEpC) were cultured with various concentrations of PAN. The distribution of P-cadherin was examined with a confocal microscope. Western blotting and reverse transcriptase-polymerase chain reaction (RT-PCR) were used to measure the change in P-cadherin expression.

Results: This study found that P-cadherin was concentrated in the inner and peripheral cytoplasm with high concentrations of PAN under immunofluorescence views. Western blotting of GEpC revealed that PAN induced a decrease of P-cadherin in dose- and time-dependent manners. A high dose (50 $\mu\text{g}/\text{mL}$) of PAN decreased P-cadherin expression by 21.9% at 24 h ($P<0.05$) and 31.9% at 48 h ($P<0.01$) compared to those without PAN. In RT-PCR, high concentrations (50 $\mu\text{g}/\text{mL}$) of PAN also decreased P-cadherin mRNA expression, similar to protein suppression, by 23.5% at 48 h ($P<0.05$).

Conclusion: Podocytes exposed to PAN *in vitro* concentrated P-cadherin internally, and reduced P-cadherin mRNA and protein expression. This could explain the development of proteinuria in experimental PAN-induced nephropathy.

Key words: P-Cadherin, Puromycin aminonucleoside (PAN)-induced nephropathy, Glomerular epithelial cells (GEpC), Podocyte

This is an open-access article distributed under the terms of the Creative Commons Attribution Non-Commercial License (<http://creativecommons.org/licenses/bync/3.0/>) which permits unrestricted non-commercial use, distribution, and reproduction in any medium, provided the original work is properly cited.

서론

소아 단백뇨질환에서 소아 신증후군은 매우 중요한 부분을 차지하고 있으며, 이중 미세변화형은 조직학적 원인으로 특발성 신증후군의 대부분을 차지한다[1-3]. 이러한 미세변화형 신증후군의 병태생리의 연구를 위해 직접 환자

또는 이와 유사한 동물실험모델을 사용하는데, 이중 동물 실험모델로서 백서에게 푸로마이신 아미노뉴클레오사이드 (puromycin aminonucleoside, PAN)를 주사하여 발생하는 단백뇨나 사구체 족세포(podocyte; glomerular epithelial cells, GEpC)에 특이적인 조직학적 변화, 예를 들면, 족돌기의 편평화와 탈락 등은 특발성 미세변화형 신증후군의 조직상과 매우 유사하며 이를 PAN (-유발성) 신증이라 한다 [4-7]. 또한, 생화학적으로 전하장벽의 감소조건 역시 유사하므로 PAN 신증은 특발성 신증후군의 병태생리에 관한 연구대상으로 많이 이용되고 있다[4-7]. 한편, 족세포에 대한 이러한 작용이 생체 내 뿐만 아니라 생체 외 즉, 배양상태의 족세포에도 유사한 영향을 끼칠 것으로 생각되는데 사구체의 다른 세포들에서는 볼 수 없는 족세포에 특이적인 세포독성 등을 통하여 배양한 족세포에 대하여 PAN의 영향이 PAN 신증과 유사한 것으로 사료된다[8, 9]. GEpC의 이러한 변화는 생체 내 뿐만 아니라 생체 외, 즉, 배양상태의 GEpC에도 유사한 영향을 끼쳐서 PAN 신증과 유사하다[7-9].

사구체의 여과는 혈관내피세포, 사구체 기저막(glomerular basement membrane), 그리고 족세포에 의하여 이루어지며, 이중 족세포의 족돌기 사이의 세극막(slit diaphragm)이 여과의 마지막 단계인 선택적 여과에 관여한다 [10, 11]. 세극막은 서로 다른 양측의 족세포들로부터 나온 족돌기들 사이를 연결하는 유일한 구조로서, 간상체(rod-like units)들이 지퍼형태의 선상구조를 이루고 있어 여과장벽의 역할을 한다[12, 13]. 최근에 많은 연구에서 세극막 부위에 존재하는 여러 가지 단백질로 nephrin, P-cadherin, FAT, podocin 등이 세포내부와 연결단백(adaptor proteins)으로 zonula occludens-1 (ZO-1), catenins, CD2-associated protein (CD2AP) 등에 의해 세포 내 세포골격과 연결되어 구조적, 기능적 역할을 수행하며, 이러한 단백질의 변화가 사구체 질환에서 단백뇨의 병인이라고 추측된다[13-16]. 이중 세극막에 존재하는 P-cadherin의 세포 외 부분은 HAV motif가 칼슘에 의해 연결되면서 양측 족돌기로부터 나와 세극막과 같은 zipper 구조를 이루며 세포 내 부분은 catenin family를 통하여 actin filament와 연결되어 족돌기와 간벽의 구조적, 기능적으로 역할을 수행한다(Fig. 1) [13, 16-18]. 본 연구에서는 배양한 족세포에서 PAN에 의한 P-cadherin의 질적, 양적 변화연구를 통하여 실험적 신증후군의 발생에 있어서 P-cadherin의 역할을 보고자 하였다.

대상 및 방법

1. 사구체 족세포 배양과 PAN 투여

백서의 사구체 상피세포(glomerular epithelial cells, GEpC)는 Kreisberg가 성상을 확인하고 공여한 세포를 배양하여 실험에 이용하였다[19]. 유지 배양액으로는 10% fetal bovine serum (FBS)과 1 M Hepes, 0.2 M L-glutamine, 0.01 U/mL insulin 그리고 항생제를 혼합한 RPMI 1640 배양액(GIBCO BRL, Gaithersburg, MD, USA)을 사용하였고 배경을 줄이기 위해 각각의 실험 전에 FBS 0.5%만을 첨가하였다. 배양액 교환은 2일에 한 번씩 하였고 계대배양은 0.05% trypsin으로 이탈시킨 후 위의 배양액으로 다시 배양하였다[20]. 세포에 다양한 농도의 PAN (Sigma Chemical Co., St. Louis, MO, USA)을 투여하고, 24시간 혹은 48시간 노출시켰고 대조군은 vehicle만 투여하였다.

3. Confocal microscopy를 이용한 P-cadherin의 분포변화 관찰

백서의 사구체 상피세포를 collagen type-I (Upstate Biotechnology Incorporation, Lake Placid, NY, USA)으로 coating한 glass cover slips에 각각의 조건으로 24시간 동안 배양을 하였으며 PBS로 3번 세척을 해준 후 4% paraformaldehyde를 200 μL씩 실온에서 10분간 처리하여 세포를 고정하고 0.02 M glycine이 들어있는 PBS을 이용하여 3번 세척하였다. 그 후 10% normal goat serum (GIBCO BRL, Rockville, MD, USA)을 well 당 200 μL씩 처리하여 37°C에서 30분간 배양한 다음, goat serum을 버리고 polyclonal rabbit anti P-cadherin (Santa Cruz Biotechnology, Inc. CA, USA) 항체를 1:100으로 희석하여 well

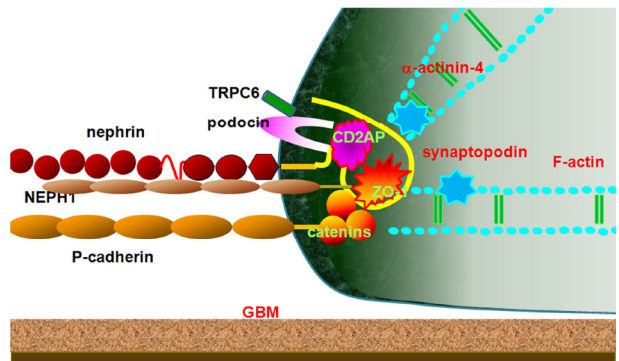


Fig. 1. Schematic view of P-cadherin and β-catenin complex in podocyte.

당 200 μ L씩 37°C에서 1시간 노출시킨 뒤 PBS를 이용하여 10분간 3번씩 shaker에서 세척하였다.

준비된 세포들에 이차항체로 Alexa-488 또는 TRITC-conjugated anti-rabbit IgG 항체(Santa Cruz Biotechnology Inc.)를 우선 25 μ g/mL으로 PBS에 희석하여 37°C에서 40분간 배양하고 0.1% triton X-100이 들어있는 PBS로 10분씩 2번 세척한 후 PBS로 2번을 10분간 세척하였다. 항 P-cadherin 항체 (Santa Cruz Biotechnology Inc.)와 4',6'-diamidino-2-phenylindole (DAPI; Sigma-Aldrich, Stockholm, Sweden)도 위와 같은 방법으로 처리하였다. 관찰은 Fluorescence microscope (TCS SP2 AOBs, Leica, Germany)으로 하였다.

4. P-Cadherin 단백질 측정

족세포를 6-well plate에 5×10^6 cells이 되도록 분주하여 confluence가 70-80% 되도록 세포를 배양하였다. 24시간, 48시간 지난 후에 protein extraction solution (PRO-PREP, Intron, Seongnam, Kyungki, Korea)을 well 당 400 μ L을 넣고 세포를 용해하였다. 이 용해물을 4°C 원심분리기로 13,200 rpm에서 30분간 원심분리하였고, 이로부터 얻은 세포 용해물의 상층액을 Bradford 방법으로 정량한 후 5X SDS loading dye와 혼합하여 95°C에서 5분간 가열하여 준비하였다. 준비된 시료를 10% polyacrylamide-SDS mini gel에 전기영동(SE 250 mini-vertical gel electrophoresis unit; Amersham Biosciences, Piscataway, NJ, USA)하고 electroelution법을 이용하여 polyvinylidene fluoride (PVDF) membrane (Immobilon-P Membrane, Millipore, Bedford, MA, USA)에 200 mA로 4시간 30분 동안 전사시켰다(TE 22 tank transfer unit; Amersham Biosciences). PVDF membrane을 5% non-fat dry milk를 tris-buffered saline-0.1% tween20 (TBS-T)에 용해시켜 1시간 동안 처리한 다음, TBS-T로 간단히 세척하고 전술한 일차항체를 TBS-T에 희석하여 4시간동안 반응시킨 후, PVDF membrane을 TBS-T로 5분간 3회 세척하였다. 이차항체 (goat anti-rabbit IgG-HRP, Santa Cruz Biotechnology Inc.)를 1:5,000 희석하여 45분 동안 반응시킨 후, TBS-T로 5분간 3회 세척하였다. 반응이 모두 끝난 PVDF membrane을 West-Zol plus (Intron, Seongnam, Kyungki, Korea)의 용액 A와 B를 1:1로 섞어 PVDF membrane에 반응시킨 후 이를 LAS-3000 imaging system (Fujifilm Life Science, Minato-ku, Tokyo, Japan)에 노출시켜 이미지를 현상하였다. 단백질은 β -tubulin에 대한 항체 (Santa Cruz Biotechnology Inc.)

로 보정하였다. 현상한 이미지를 Multi Gauge V3.1 프로그램을 사용하여 band density를 측정하고, 이를 대조군 평균치에 100%에 대한 상대값으로 표시하였다.

5. P-Cadherin에 대한 RT-PCR

각 조건에서 배양한 세포를 RNA isolation solution과 chloroform으로 추출을 한 후에 isopropanol, 3% sodium acetate와 100% ethanol을 이용하여 침전시킨 다음 전체 RNA를 분리하였다. RNA 5 μ g의 농도로 AMV reverse transcriptase (Intron, Korea)과 oligo-dT (KDR, Korea), 2.5 mM dNTP (Intron, Seongnam, Kyungki, Korea) 그리고 증류수로 최종 20 μ L로 부피를 맞춘 후 37°C에서 20분간, 42°C에서 50분간 반응 후 효소를 불활성화시킨 다음 합성된 cDNA을 주형으로 RT-PCR을 수행하였다.

사용한 백서의 P-cadherin sense의 염기서열은 5'-CTTACAATGGGGTGGTGG-3'이고, antisense의 염기서열은 5'-GCCACGGTGAAATGATCC-3'이었으며 housekeeper로서 백서의 GAPDH sense의 염기서열은 5'-CTCTACCCACGGCAAGTTCAA-3'이고, antisense의 염기서열은 5'-GGATGACCTTGCCACAGC-3'이었으며 Bionics (Korea)에 주문 제작하였다. 10 \times PCR buffer (Intron, Korea), 2.5 mM dNTP (Intron, Korea)와 각각의 특정 primer에 증류수를 더하여 전체 양을 25 μ L로 맞춘 후 94°C에서 5분간 가열한 다음 94°C 30초, 각각에 맞는 annealing 온도에서 1분간, 72°C에서 50초간 30 cycles를 시행하였다. 생성물을 2.0% agarose gel을 이용하여 각 시료의 PCR 생성물과 dye을 포함하여 15 μ L의 양을 전기영동하고 ethidium bromide로 염색하여 UV light하에서 polaroid film에 감광시키고 densitometry (LabWorks 4.0, UVP, Inc. Upland, CA, USA)로 각각 측정된 후 GAPDH의 값으로 보정하였다.

6. 통계적 분석

대조군과 함께 각 항목에 대하여 Western 분석은 3회, RT-PCR은 3회 실험한 후 결과는 mean \pm standard deviation (S.D)로 표시하였고, 실험군과 대조군간의 차이에 대한 통계적 유의성 분석은 독립표본 T-검정법(SPSS version 12.0; SPSS Inc, Chicago, IL)을 사용하여 비모수적 Student's *t*-test 방법으로 처리되었으며, *P*-값이 0.05 미만일 때 통계학적으로 유의한 것으로 간주하였다.

결과

1. Confocal 현미경을 이용한 P-cadherin의 분포 관찰

항 β -catenin 항체와 항 P-cadherin 항체를 같이 처리하였을 때, 외곽세포질에 분포하는 β -catenin (빨강)이 PAN의 농도가 올라갈수록 흐려지면서 P-cadherin (녹색)은 내부로 응집하는 모습을 볼 수 있다(Fig. 2A). 배양세포를 뿔뿔하게 자라게 한 후 같은 방법으로 관찰하였을 때도, 세포 사이의 β -catenin이 PAN의 농도가 올라갈수록 흐려지면서 간극이 생기는 것을 확인할 수 있었으며, P-cadherin 역시 감소하면서 내부로 응집하는 모습을 볼 수 있다(화살표, Fig. 2B). 이는 PAN에 의해 P-cadherin이 본래 위치에서 내부로 응집하여 세포 간 투과억제기능이 손상됨을 의미할 것으로 사료된다.

2. Western 분석을 이용한 P-cadherin 단백질 양 측정

P-Cadherin 단백질의 밴드는 118 kD 부위에서 관찰할 수 있었으며, P-cadherin 단백질 밴드의 두께는 β -tubulin 단백질 결과로 보정하였다. 여러 농도의 PAN에 노출시킨 후 P-cadherin 단백질 양을 24시간과 48시간에서 관찰한 결과, 농도에 따라 감소하는 소견을 보였다. 24시간 노출 조건에서 고농도인 50 μ g/mL에서 21.9%의 의미 있는 감소($P < 0.05$)와 48시간이 노출 조건에서 25와 50 μ g/mL에서 각각 29.1%와 31.9%의 통계학적으로는 의미 있는 감소소견을 보였다($P < 0.01$, Fig. 3).

3. RT-PCR을 통한 P-cadherin의 expression 측정

GEpC에서 P-cadherin에 대한 PCR 생성물을 397 base pairs에서 확인할 수 있었으며, P-cadherin mRNA의 표현양을 GAPDH mRNA의 표현양으로 보정한 후 PAN을 투여하지 않은 군의 결과에 대한 각 군의 결과를 비교하였다. RT-PCR에 의한 GEpC에서 P-cadherin의 밴드 두께는 24 시간에서는 각 농도 간에 별 차이가 없었으나, 48시간에서는 고농도인 50 μ g/mL PAN을 첨가한 조건에서 23.5%의 의미 있는 감소를 보였다($P < 0.05$, Fig. 4). 즉, 고농도의 PAN

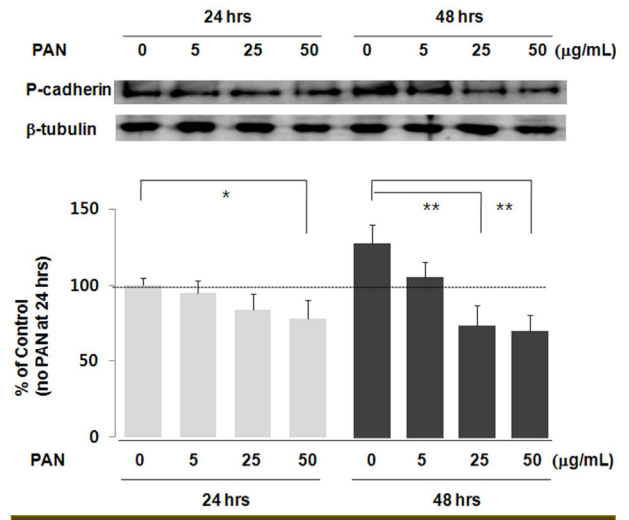


Fig. 3. Effects of PAN on cellular P-cadherin protein levels in cultured cells assayed by Western blotting. High dose (50 μ g/mL) of PAN decreased P-cadherin expression significantly by 21.9% at 24 hrs ($P < 0.05$) and 31.9% at 48 hrs ($P < 0.01$), compared to those in without PAN condition. Data are presented as mean \pm SD; n=3 per group. Control (100%); the value of PAN (-) at 24 hrs. * $P < 0.05$ versus control. PAN, puromycin aminonucleoside.

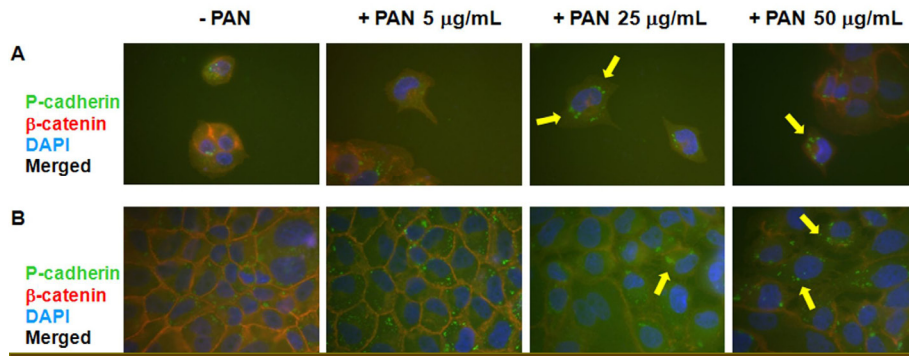


Fig. 2. Confocal microscopy of glomerular epithelial cells with P-cadherin and β -catenin. Merged views show that P-cadherin (green) become concentrated in inner cytoplasm near nucleus in single (A, arrows) and confluent cells (B, arrows), and β -catenin (red) become faint and re-localized inward in single (A) and confluent cells (B) by PAN. Magnification, x1,000. PAN, puromycin aminonucleoside ; DAPI, 4',6-diamidino-2-phenylindole.

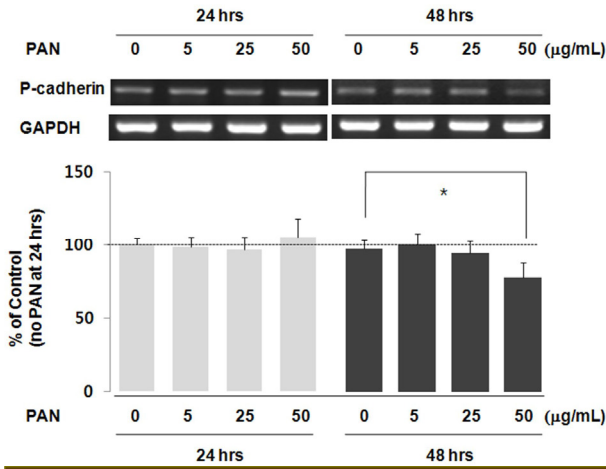


Fig. 4. Effects of PAN on cellular P-cadherin mRNA levels in cultured cells assayed by RT-PCR. High dose (50 µg/mL) of PAN decreased P-cadherin mRNA expression similar to protein suppression by 23.5% at 48 hrs ($P < 0.05$). Data are presented as mean \pm SD; $n = 3$ per group. Control (100%); the value of PAN (-) at 24 hrs. * $P < 0.05$ versus control. PAN, puromycin aminonucleoside; GAPDH, glyceraldehyde 3-phosphate dehydrogenase.

은 유전자 수준에서 족세포의 P-cadherin의 생성을 억제시켰다.

고찰

Cadherin 족은 대부분의 장기에서 상피세포조직의 세포와 세포 사이 부착(cell adhesion)에 관여하는 칼슘-의존적 당단백으로, 상피 조직의 구조 유지, 조직의 발생, 그리고 일부 악성 종양 세포의 전이 등에 중요한 역할을 한다[21, 22]. 전형적 cadherin을 조직특이성에 따라 E (epithelial)-, N (neural)-, VE (vascular endothelial)- 그리고 P(placental)-cadherin 등으로 분류한다[23, 24]. E-cadherin은 대부분의 상피세포, N-cadherin은 신경세포에, VE-cadherin은 혈관 내피세포에 존재하며, P-cadherin은 태반 외에 피부와 전립선의 기저세포층에 국한하여 존재한다[18, 23, 24]. 사구체에도 E-, P-, R-cadherin이 초기 생성 시기에 주로 존재하는 것으로 보고되었지만[13, 25, 26], 정상 상태나 병적 상태에서 이들 cadherin의 역할에 대해서는 잘 알려지지 않았다. Nakopoulou 등[27]은 E-cadherin이 주로 사구체의 상피세포에서 발현되며, 증식성 사구체신염 환자에서 E-cadherin의 발현이 증가되었다는 보고하였으나, Yaoita 등[25]은 신생백서에서 사구체 상피세포에 보이던 pan-cadherin 염색이 성숙한 백서 뿐 아니라 PAN-유발성 신증에서도 pan-cadherin의 존재를 발견할 수 없었다고 하였

다. 그러나 이들이 목표 단백질과 사용한 항체가 서로 다르고 특이성 정도도 확인하기 힘들다.

P-cadherin은 전술한 바와 같이, 세포 사이의 부착에 관여하는 당단백인 전형적 cadherin 족의 하나로, 피부와 전립선의 기저세포, 유선의 근상피세포, 그리고 사구체에 존재하는데, 사구체 내에서는 세극막에 존재하는 것으로 미루어 P-cadherin이 세극막의 골격 역할과 동시에 nephrin과 같은 단백질과 연관되어 여과 선택성 유지에 관여할 것으로 생각된다[13, 18]. 그러나 nephrin과는 달리 단백질과 P-cadherin 사이의 연관성을 증명한 연구는 드물다.

Singh 등[28]은 당화 단백질(glycated protein)으로 자극한 GEPc에서 cadherin 발현이 감소하였다고 보고하였으나, Bains 등[29]은 간접면역형광법으로 관찰한 cadherin의 발현을 대조군 신조직과 비교하여 미세변화 증후군과 막성 사구체신염 환자의 신조직에서 의미있는 차이를 발견할 수 없었다고 하였으며, Yaoita 등[25]은 신생백서에서 사구체 상피세포에 보이던 pan-cadherin 염색이 성숙한 백서 뿐 아니라 puromycin aminonucleoside nephrosis에서도 pan-cadherin의 존재를 발견할 수 없었다고 하였다. 그러나 이들이 사용한 항체가 pan-cadherin에 대한 항체이었기 때문에 P-cadherin 단독의 변화를 의미할 수는 없었을 것으로 생각되며 이들 항체가 서로 다르고 특이성 정도도 확인하기 힘들다. 또한, nephrin이 결여된 핀란드형 선천성 신증 후군에서 P-cadherin이 정상적으로 표현된다는 사실[30]과 P-cadherin 결여 마우스에서 심한 단백뇨가 동반되지 않는다는 사실[31]로 미루어 단백질의 발생과 P-cadherin 사이에 밀접한 관계가 없을 것으로 생각할 수 있다. 그러나 Xu 등[32]은 P-cadherin에 대한 항체를 사용하여 고농도 당에 의해 사구체 족세포의 P-cadherin 단백질양의 감소를 확인하였고 mRNA의 발현감소도 보고하였다. 또한, 실험적 당뇨병성 신병증모델에서도 단백질과 함께 사구체 족세포 부위의 P-cadherin 단백질염색의 감소를 확인하였다. 본 연구자도 고농도의 당과 AGE (advanced glycosylation endproducts)에 의한 GEPc의 P-cadherin을 유전자 수준에서의 억제로 단백질의 생성 감소를 초래함으로써, 당뇨병에서 세극막 성분의 변화를 설명할 수 있었다[33], 또한 Otero 등[34]은 AGE에 의하여 배양한 혈관내피세포에서 이들 세포의 접착에 중요한 VE-cadherin의 의미 있는 감소를 확인하여 혈관 투과성의 증가를 설명하였다.

세극막에 존재하는 P-cadherin의 세포 내 부분은 catenin family (α , β and γ -catenin)를 통하여 actin filament와 연결되어 족돌기와 간벽의 구조적, 기능적으로 역할을 수행한다. 특히, P-cadherin은 β -catenin과 연결되어 있고

catenin complex의 α -catenin은 actin과 연결시킨다(Fig. 1) [13, 16-18]. PAN 신증 동물모델의 사구체에서 Luimula 등[35]은 β -catenin 단백질의 의미 있는 감소를 확인하였고, 본 연구자도 세포배양모델에서 PAN에 의한 GEpC의 β -catenin 단백질을 유전자 수준에서의 억제로 단백질의 생성이 감소를 확인하였다[20]. 즉, PAN에 의하여 족세포의 P-cadherin/ β -catenin complex는 서로 유사한 방향으로 분포와 정량적 변화를 보인다.

결론적으로, 본 연구자가 이전 실험에서 확인한 PAN에 의한 실험적 사구체 여과모델에서의 투과율 증가[36]와 본 연구에서의 GEpC의 P-cadherin에 대한 결과, 그리고 Otero 등[34]의 AGE에 의한 혈관내피세포간 cadherin의 감소와 혈관 투과성의 증가결과를 종합하면, PAN에 의한 족세포 P-cadherin의 변화가 투과율의 증가(단백뇨)를 초래함을 설명할 수 있을 것이다.

요약

목적: 단백질 질환의 실험모델인 puromycin aminonucleoside (PAN)에서 관찰할 수 있는 족세포의 병리학적 이상에 있어서 P-cadherin의 변화를 생체 외 족세포 배양실험을 통하여 알아보고자 하였다.

방법: PAN에 의한 족세포의 P-cadherin의 변화를 생체 외 배양실험을 통해 알아보고자 백서 사구체 상피세포(GEpC)를 배양하여 다양한 농도의 PAN을 투여하여 confocal 현미경을 통하여 P-cadherin의 분포를 관찰하였고, Western blotting 과 RT-PCR을 사용하여 P-cadherin 발현의 변화를 관찰하였다.

결과: 외과세포질에 분포하는 P-cadherin은 단일세포 혹은 응집환경에서 PAN의 농도가 올라갈수록 내부로 응집되는 현상을 볼 수 있었다. Western 분석에서, P-cadherin 단백질양은 PAN에 농도-의존적으로, 특히, 고농도인 50 mg/mL에서 24시간과 48시간이 노출 조건에서 각각 21.9% ($P < 0.05$)와 31.9% ($P < 0.01$)의 의미 있는 감소소견을 보였다. RT-PCR에서도 48시간에서 50 mg/mL PAN을 첨가한 조건에서 23.5%의 의미 있는 감소를 보였다($P < 0.05$).

결론: PAN은 족세포에서 P-cadherin을 세포막으로부터 내부로의 응집을 유발하고, P-cadherin mRNA의 발현 감소와 단백질수준에서 양의 감소를 초래함으로써, 단백질의 발생에 기여할 것이라 사료된다.

감사의 글

본 연구자는 기술적 도움을 준 안은미, 최지영 연구원에게 감사를 포함.

References

- 1) Churg J, Habib R, White RH. Pathology of the nephrotic syndrome in children: a report for the International Study of Kidney Disease in Children. *Lancet*. 1970;760:1299-302.
- 2) Eddy AA, Symons JM. Nephrotic syndrome in childhood. *Lancet* 2003;362:629-39.
- 3) Sinha A, Bagga A. Nephrotic syndrome. *Indian J Pediatr* 2012; 79:1045-55.
- 4) Ryan GB, Karnovsky MJ. An ultrastructural study of the mechanisms of proteinuria in aminonucleoside nephrosis. *Kidney Int* 1975;8:219-32.
- 5) Caulfield JP, Reid JJ, Farquhar MG. Alterations of the glomerular epithelium in acute aminonucleoside nephrosis: Evidence of formation of occluding junctions and epithelial cell detachment. *Lab Invest* 1976;34:43-59.
- 6) Messina A, Davies DJ, Dillane PC, Ryan GB. Glomerular epithelial abnormalities associated with the onset of proteinuria in aminonucleoside nephrosis. *Am J Pathol* 1987;126:220-29.
- 7) Caulfield JP, Farquhar MG. Loss of anionic sites from the glomerular basement membrane in aminonucleoside nephrosis. *Lab Invest* 1978;39:505-10.
- 8) Ricardo SD, Bertram JF, Ryan GB. Reactive oxygen species in aminonucleoside nephrosis: In vitro studies. *Kidney Int* 1994; 45:1057-69.
- 9) Marshall CB, Pippin JW, Krofft RD, Shankland SJ. Puromycin aminonucleoside induces oxidant-dependent DNA damage in podocytes in vitro and in vivo. *Kidney Int* 2006;70:1962-73.
- 10) Karnovsky MJ, Ainsworth SK: The structural basis of glomerular filtration. *Adv Nephrol Necker Hosp* 1972;2:35-60.
- 11) Remuzzi A, Remuzzi G: Glomerular perm-selective function. *Kidney Int* 1994;45:398-402.
- 12) Rodewald R, Karnovsky MJ: Porous substructure of the glomerular silt diaphragm in the rat and mouse. *J Cell Biol* 1974; 60:423-33.
- 13) Reiser J, Kriz W, Kretzler M, Mundel P. The glomerular silt diaphragm is a modified adherens junction. *J Am Soc Nephrol* 2000;11:1-8.
- 14) Mundel P, Shankland SJ. Podocyte biology and response to injury. *J Am Soc Nephrol* 2002;13:3005-15.
- 15) Haraldsson B, Nyström J, Deen WM. Properties of the glo-

- merular barrier and mechanisms of proteinuria. *Physiol Rev* 2008;88:451-87.
- 16) Ha TS. Roles of adaptor proteins in podocyte biology. *World J Nephrol* 2013;2:1-10.
 - 17) Ha T-S, Park KB. Pathophysiology of proteinuria. *Korean J Pediatr* 2004;47(Suppl 4):877-85.
 - 18) Shimoyama Y, Hirohashi S, Hirano S, Noguchi M, Shimosato Y, Takeichi M, et al. Cadherin cell adhesion molecules in human epithelial tissues and carcinomas. *Cancer Res* 1989; 49:2128-33.
 - 19) Kreisberg JI, Hoover RL, Karnovsky MJ. Isolation and characterization of rat glomerular epithelial cells in vitro. *Kidney Int* 1978;14:21-30.
 - 20) Choi JY, Ahn EM, Park HY, Shin JI, Ha TS. The change of podocyte β -catenin by puromycin aminonucleoside. *J Korean Soc Pediatr Nephrol* 2011;15:138-45.
 - 21) Grunwald GB. The structural and functional analysis of cadherin calcium-dependent cell adhesion molecules. *Curr Opin Cell Biol* 1993;5:797-805.
 - 22) Vleminckx K, Vakaet L Jr, Mareel M, Fiers W, van Roy F. Genetic manipulation of E-cadherin expression by epithelial tumour cells reveals an invasion suppressor role. *Cell* 1991;66:107-19.
 - 23) Geiger B, Ayalon O. Cadherins. *Annu Rev Cell Biol* 1992;8: 307-32.
 - 24) Goodwin M, Yap AS. Classical cadherin adhesion molecules: coordinating cell adhesion, signaling and the cytoskeleton *J Mol Histol* 2004;35:839-44.
 - 25) Yaoita E, Sato N, Yoshida Y, Nameta M, Yamamoto T. Cadherin and catenin staining in podocytes in development and puromycin aminonucleoside nephrosis *Nephrol Dial Transplant*. 2002;17(Suppl 9):16-9.
 - 26) Goto S, Yaoita E, Matsunami H, Kondo D, Yamamoto T, Kawasaki K, et al. Involvement of R-cadherin in the early stage of glomerulogenesis. *J Am Soc Nephrol*. 1998;9:1234-41.
 - 27) Nakopoulou L, Lazaris ACh, Boletis IN, Michail S, Giannopoulou I, Zeis PM, et al. Evaluation of E-cadherin/catenin complex in primary and secondary glomerulonephritis. *Am J Kidney Dis* 2002;39:469-74.
 - 28) Singh AK, Mo W, Dunea G, Arruda JA. Effect of glycated proteins on the matrix of glomerular epithelial cells. *J Am Soc Nephrol* 1998;9:802-10.
 - 29) Bains R, Furness PN, Critchley DR. A quantitative immunofluorescence study of glomerular cell adhesion proteins in proteinuric states. *J Pathol* 1997;183:272-80.
 - 30) Ruotsalainen V, Patrakka J, Tissari P, Reponen P, Hess M, Kestila M, et al. Role of nephrin in cell junction formation in human nephrogenesis. *Am J Pathol* 2000;157:1905-16.
 - 31) Radice GL, Ferreira-Cornwell MC, Robinson SD, Rayburn H, Chodosh LA, Takeichi M, et al. Precocious mammary gland development in P-cadherin-deficient mice. *J Cell Biol* 1997; 139:1025-32.
 - 32) Xu ZG, Ryu DR, Yoo TH, Jung DS, Kim JJ, Kim HJ, et al. P-Cadherin is decreased in diabetic glomeruli and in glucose-stimulated podocytes in vivo and in vitro studies. *Nephrol Dial Transplant* 2005;20:524-31.
 - 33) Ha TS, Koo HH, Lee HS, Yoon OJ. High glucose and advanced glycosylation endproducts (AGE) modulate the P-cadherin expression in glomerular epithelial cells (GEpC). *J Korean Soc Pediatr Nephrol* 2005;9:119-27.
 - 34) Otero K, Martinez F, Beltran A, Gonzalez D, Herrera B, Quintero G, et al. Albumin-derived advanced glycation end-products trigger the disruption of the vascular endothelial cadherin complex in cultured human and murine endothelial cells. *Biochem J* 2001;359:567-74.
 - 35) Luimula P, Sandström N, Novikov D, Holthöfer H. Podocyte-associated molecules in puromycin aminonucleoside nephrosis of the rat. *Lab Invest* 2002;82:713-8.
 - 36) Lee JH, Ha TS. Effects of puromycin aminonucleoside on the cytoskeletal changes of glomerular epithelial cells. *Korean J Pediatr* 2008;51:54-61.